

مقاومت الکتریکی و انرژی فعال سازی در ابررسانای $\text{PrO}_{0.85}\text{FeAs}$

غلام پور، سمانه؛ قربانی، شعبان رضا؛ رشیدی، مریم

گروه فیزیک دانشگاه تربیت معلم سبزوار، بیالاتر از توحید شهر، سبزوار

چکیده

سازو کار میخکوبش شار ابررسانای $\text{PrO}_{0.85}\text{FeAs}$ ساخته شده تحت فشار بالا با دمای بحرانی $T_c = 38.4$ کلوین در این مقاله بررسی می‌شود. وابستگی دمایی مغناطیس مقاومت در میدان‌های بالا تا ۱۳ تسلا اندازه گیری گردید. پهن شدگی مقاومت الکتریکی در ناحیه گذار ناشی از شارش شار فعال شده بطور حرارتی است. انرژی فعال سازی U_0/k_B برای ابررسانای پایه آهن Pr برابر با ۱۴۰۰ درجه کلوین است. در محدوده وسیعی از میدان‌های مغناطیسی انرژی فعال سازی از رابطه B^{-n} تبعیت می‌کند. نتایج نشان می‌دهد که در میدان‌های کمتر از T_c ۲ میخکوبی ذاتی در ابررسانای $\text{PrO}_{0.85}\text{FeAs}$ ضعیفتری از MgB_2 ولی تقریباً برابر با مقدار آن برای $\text{Bi}-2212$ است.

Electric resistive and activation energy in $\text{PrO}_{0.85}\text{FeAs}$

Gholampoor, S. ; Ghorbani, S. R. ; Rashidi, M.

Department of Physics, Sabzevar Tarbiyat Modalleh University, Sabzevar

Abstract

The flux pinning mechanism of $\text{PrO}_{0.85}\text{FeAs}$ superconductors, which was made under high pressure, with a critical temperature, T_c , of 38.4 K have been investigated in this work. The temperature dependence of magnetoresistivity were measured in fields up to 13 T. Analysis of resistive transition broadening revealed that thermally activated flux flow is found to be responsible for the resistivity contribution in the vicinity of T_c . The activation energy U_0/k_B is 1400 K for Pr-based superconductors, in low fields and scales as B^{-n} over a wide field range. Our results indicate that the $\text{PrO}_{0.85}\text{FeAs}$ has weaker intrinsic pinning than MgB_2 , while equal approximately to that in $\text{Bi}-2212$ for $H < 2$ T.

PACS No.: 74

مقدمه

جانشینی Sr به جای $\text{La}_{1-x}\text{Sr}_x\text{OFeAs}$ ، La میدان بحرانی T_c انجام می‌گیرد.
[5]
 میدان بحرانی بالایی H_{c2} ، یکی از پارامتر اساسی جهت کاربرد ابررساناهاست. میدان بحرانی بالایی بزرگتر از ۶۵ تسلا برای $\text{SmO}_{0.85}\text{F}_{0.1}\text{FeAs}$ [7,8] و $T_c = 150$ در $\text{LaO}_{0.9}\text{F}_{0.1}\text{FeAs}$ [9] و بالای ۸۰ تا ۳۰۰ تسلا در نمونه‌ی $\text{NdO}_{0.82}\text{F}_{0.18}\text{FeAs}$ حجمی ۵۱ کلوین گزارش شده است [10,11].

کشف ابررسانای پایه آهن بادمای بحرانی، T_c ، به بزرگی K ۲۶-۵۵ [1-9] فصل جدیدی در موضوع ابررساناهای دمای بالا باز کرد. ابررساناهای کشف شده ای جدید دارای فرمول کلی REOTmPn هستند که در آن RE عناصر خاکی نادر، Tm فلز انتقال و Pn یکی از عناصر P یا As است. ترکیبات با دارای T_c بزرگتر نسبت به $\text{Pn}=\text{P}$ هستند. T_c به وسیله ای RE و آلایش الکترونی کنترل می‌شود. آلایش الکترونی به صورت جانشینی فلورئور بالاکسیژن [1] یا کمبوداکسیژن انجام می‌گیرد [4] در حالی که آلایش حفره‌ها به صورت

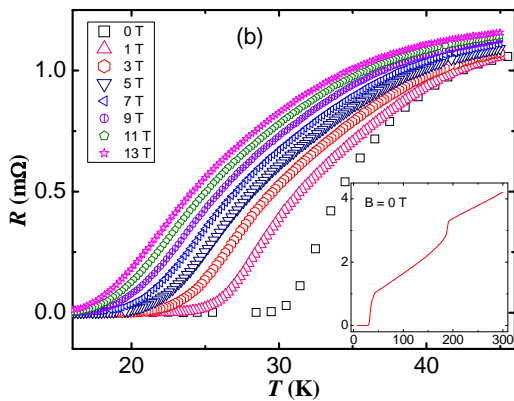
بحث و نتایج

پهن شدن گذار مقاومت در حضور میدان مغناطیسی برای ابررسانای لایه ای کوپرات و MgB_2 ناشی از اتلاف انرژی در اثر حرکت گرد شاره هاست [12,13]. مقاومت الکتریکی در ناحیه پهن شده ناشی از خروش گردشاره ها است. براساس مدل خروش شار فعال شده به طور حرارتی، وابستگی مقاومت الکتریکی به دما، $\rho(T)$ ، در حضور میدان مغناطیسی به صورت زیر است:

$$\rho(T,B) = \rho_0 \exp[-U_0/k_B T] \quad (1)$$

که در آن U_0 انرژی فعال سازی شار یا انرژی میخکوبش نامیده می شود، که می تواند از روی شبیب قسمت های خطی منحنی آریینوسی بدست آید، ρ_0 یک پارامتر است و k_B ثابت بولتمن است.

U_0 را می توان از روی منحنی $\ln \rho$ بر حسب T^{-1} در محدوده دمایی خطی مجاورت T_c تعیین کرد. اثر شارش شار مغناطیسی فعال شده به طور حرارتی به خوبی از روی پهن شدگی در ناحیه گذار نمایان است، که در شکل 2 نشان داده شده است.



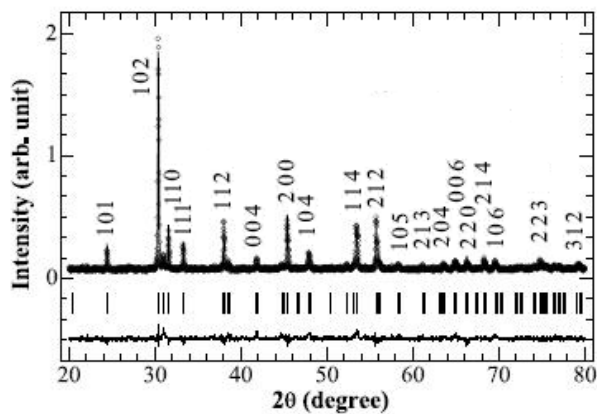
شکل 2. وابستگی دمایی مقاومت الکتریکی نمونه $PrO_{0.85}FeAs$ در میدان های مغناطیسی متفاوت. منحنی الحقیقی تغییرات مقاومت الکتریکی را در میدان مغناطیسی صفر نشان می دهد.

در شکل 3 داده ها به صورت $\ln \rho$ بر حسب T^{-1} رسم شده اند. همان طور که در شکل دیده می شود رفتار شارش شار فعال شده به طور گرمایی در منحنی مقاومت به خوبی قابل مشاهده است.

در این مقاله خواص تراپردا و انرژی فعال سازی ابررسانای $PrO_{0.85}FeAs$ بررسی می شود.

روش آزمایش

نمونه چند بلوری $PrO_{0.85}FeAs$ با روش فشار بالا ساخته شد. پودرهای Fe_2O_3 , FeF_2 , $PrAs$, Fe به خوبی با یکدیگر ترکیب و به شکل قرص در آمده و سپس در یک بوته ی برن نیترید قرار داده و تا دمای 1250 درجه سلسیوس به مدت 2 ساعت تحت فشار بالای حدود 6 GPa حرارت داده شدند [3].

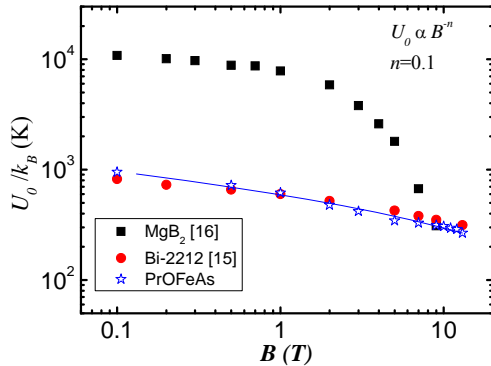


شکل 1. الگوی پراش X در نمونه ی $PrO_{0.85}FeAs$

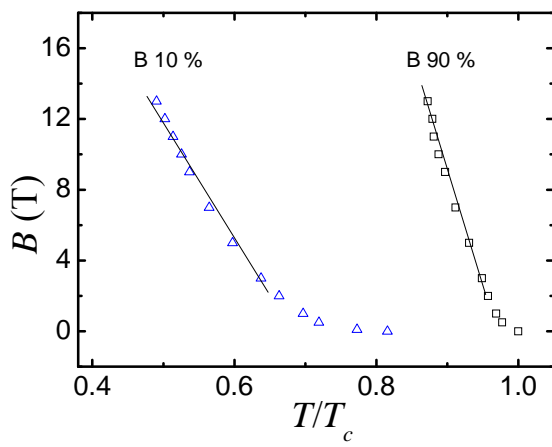
ساختار فاز نمونه توسط پراش اشعه X بررسی شد. شکل 1 الگوی پراش X نمونه را نشان می دهد. همان طور که در شکل مشاهده می شود نمونه دارای ساختار تقریباً تک فاز است و فاز ثانویه ای تقریباً وجود ندارد یا اگر هم هست بسیار ناچیز است. خطوط قائم زیر نمودار محل پیکهای ساختار اصلی و منحنی نیز تفاوت بین مدل برآورده شده به داده ها و داده های تجربی را نشان می دهد که نشان دهنده کیفیت خوب نمونه است.

مقاومت الکتریکی به روش چهار میله ی استاندارد توسط سیستم اندازه گیری خواص فیزیکی (PPMS, Quantum Design) در گستره میدان های مغناطیسی صفر تا 13 تسللا در دانشگاه ولانگونگ کشور استرالیا انجام گرفت.

میدان بحرانی بالایی، H_{c2} و میدان برگشت ناپذیر، H_{irr} ، از روی معیار ۹۰٪ و ۱۰٪ در کاهش مقاومت الکتریکی نسبت به حالت عادی است. نتایج بدست آمده در شکل ۵ نشان داده شده است. شبیه $|dH_{c2}/dT|$ برابر $4/3$ است.



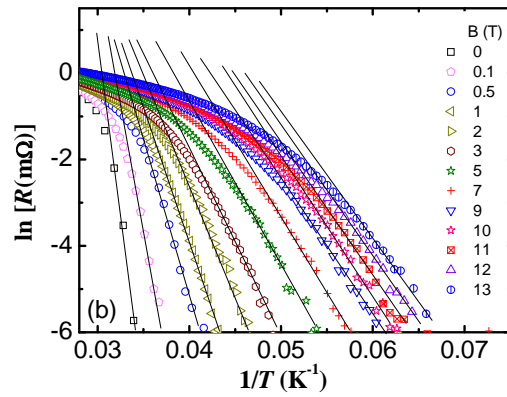
شکل ۴. وابستگی انرژی فعال سازی، U_0 ، به میدان مغناطیسی برای $\text{PrO}_{0.85}\text{FeAs}$. خط راست بدست برآورد شده رابطه $U_0 = B^{-n}$ نشان می دهد.



شکل ۵. وابستگی دمایی میدان بحرانی بالایی و برگشت ناپذیر برای $\text{PrO}_{0.85}\text{FeAs}$.

نتیجه گیری

شبیه منحنی برابر انرژی فعال سازی، U_0/k_B ، است. با برآورده کردن داده های تجربی، بهترین مقداری که برای انرژی فعال سازی در میدان $T = 0.1$ بدست آمده برابر $k_B = 1400 \text{ K}$ ($U_0 = 1400 \text{ K}$) است.



شکل ۳. رسم منحنی آرینیوسی مقاومت الکتریکی نمونه $\text{PrO}_{0.85}\text{FeAs}$ برای U_0 ، توسط شبیه خطوط برآورده شده براساس معادله (۱) تعیین می گردد.

برای بلور BiSCOO یک رفتار توانی جهت انرژی فعال سازی بر حسب میدان مغناطیسی یعنی $U_0 = B^{-n}$ گزارش شده است که در آن مقدار $n=1/2$ برای $B < 5 \text{ T}$ و $n=1/6$ برای $B > 5 \text{ T}$ می باشد [12,13] .

شکل ۴ وابستگی انرژی فعال سازی به میدان مغناطیسی را در بازه $0.1 \text{ T} \leq B \leq 13 \text{ T}$ برای $\text{PrO}_{0.85}\text{FeAs}$ نشان می دهد. مشاهده می گردد که مقادیر از U_0 به صورت خیلی ضعیف با میدان تغییر می کند که وابستگی آن به صورت $B^{-0.1}$ است. داده های انرژی فعال سازی MgB_2 و $\text{Bi}-2212$ نیز جهت مقایسه به شکل ۴ اضافه گردیده است.

مقدار U_0 در میدان های کوچک و بزرگ ۲ تا ۳ بار بزرگتر از آن برای $\text{Bi}2212$ [12] و 10 بار بزرگتر برای $\text{Bi}2223$ [13] است. همان طور که در شکل مشاهده می شود میخکوبش ذاتی $\text{PrO}_{0.85}\text{FeAs}$ تقریباً برابر با BiSCOO اما کوچکتر از MgB_2 است.

بررسی پهن شدن گذار مقاومت در منحنی مقاومت بر حسب دما به خاطر حرکت گردشарه ها ناشی از شارش شار فعال سازی شده به طور گرمابی مسئول سهم مقاومت در اطراف T_c است.

انرژی فعال سازی U_0 , در ابررسانای $\text{PrO}_{0.85}\text{FeAs}$ برابر ۱۴۰۰ است و به صورت B^{-n} تغییر می کند که در آن n برابر ۰/۱ است. U_0 برای $\text{PrO}_{0.85}\text{FeAs}$ تقریباً برابر با مقدار آن برای $\text{Bi}-2212$ اما بسیار کمتر از آن برای MgB_2 است. لذا میخکوبی ذاتی شار در نمونه‌ی فوق کمتر از میخکوبی ذاتی در MgB_2 و تقریباً برابر با مقدار آن برای ابررسانای پایه Bi است.

سپاسگزاری

از آقایان پروفسور ونگ و پروفسور دو برای همکاری و اجازه‌ی استفاده از تجهیزات دانشگاه ولونگونک استرالیا صمیمانه تشکر می‌کنیم.

مرجع‌ها

- [1]. Y. Kamihara, T. Watanabe, M. Hirano, H. Hosono, J. Am. Chem. Soc. **130** (2008) 3296.
- [2]. X. H. Chen, T. Wu, G. Wu, R. H. Liu, H. Chen, D. F. Fang, Phys. Rev. Lett. **100** (2008) 247002.
- [3]. Z.-A. Ren, J. Yang, W. Lu, W. Yi, G.-C. Che, X.-L. Dong, L.-L. Sun, Z.-X. Zhao, Europhysics Letters **82** (2008) 57002.
- [4]. J. Yang, Z.-C. Li, W. Lu, W. Yi, X.-L. Shen, Z.-A. Ren, G.-C. Che, X.-L. Dong, L.-L. Sun, F. Zhou, Z.-X. Zhao, Supercond. Sci. Technol. **21** (2008) 082001.
- [5]. H.H. Wen et al., Europhys. Lett. **82** (2008) 17009.
- [6]. Z.-A. Ren, W. Lu, J. Yang, W. Yi, X.-L. Shen, Z.-C. Li, G.-C. Che, X.-L. Dong, L.-L. Sun, F. Zhou, Z.-X. Zhao, Chin. Phys. Lett. **25** (2008) 2215.
- [7]. F. Hunte, J. Jaroszynski, A. Gurevich, D. C. Larbalestier, R. Jin, A.S. Sefat, M.A. McGuire, B.C. Sales, D.K. Christen, D. Mandrus, Nature (London) **453** (2008) 903.
- [8]. C. Senatore, R. Flükiger, G. Wu, R. H. Liu, X. H. Chen, Phys. Rev. B **78** (2008) 054514.
- [9]. W. Lu, X.-L. Shen, J. Yang, Z.-C. Li, W. Yi, Z.-A. Ren, X.-L. Dong, G.-C. Che, L.-L. Sun, F. Zhou, Z.-X. Zhao, Solid State Commun. **148** (2008) 168.
- [10]. X.L Wang, R. Ghorbani, G. Peleckis, S.X. Dou, Adv. Mater. **21** (2009) 236.
- [11]. Y. Jia, et al., Supercond. Sci. Technol. **21** (2008) 105018.
- [12]. T.T.M. Palstra, et al., Phys. Rev. B **41** (1990) 6621.
- [13]. X.L. Wang, et al, J. Appl. Phys. **97** (2005) 10B114.